"ESTUDIO GEOLOGICO A ESCALA 1:50.000 DE LAS HOJAS 929, 949, 950, 971 Y 972 DEL MAPA GEOLOGICO NACIONAL Y ESTUDIOS COMPLEMENTARIOS"

ALBUM FOTOGRAFICO DE LA HOJA DE HUESCAR Nº 950 (22-38).

Diciembre, 1.994

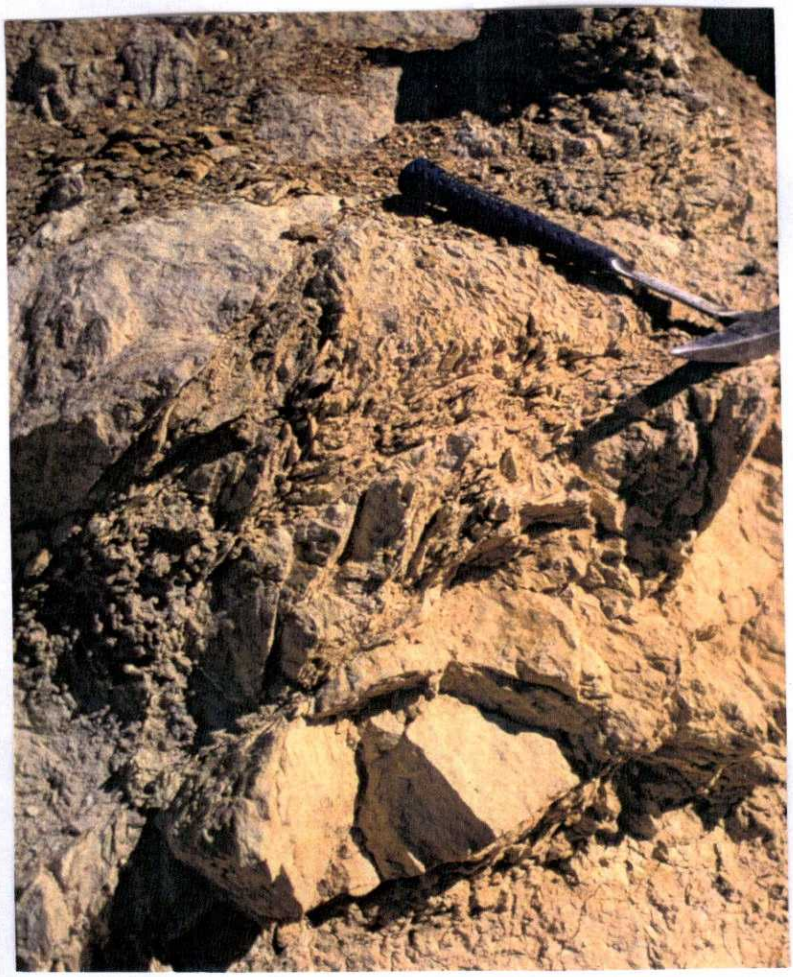
ALBUM FOTOGRAFICO



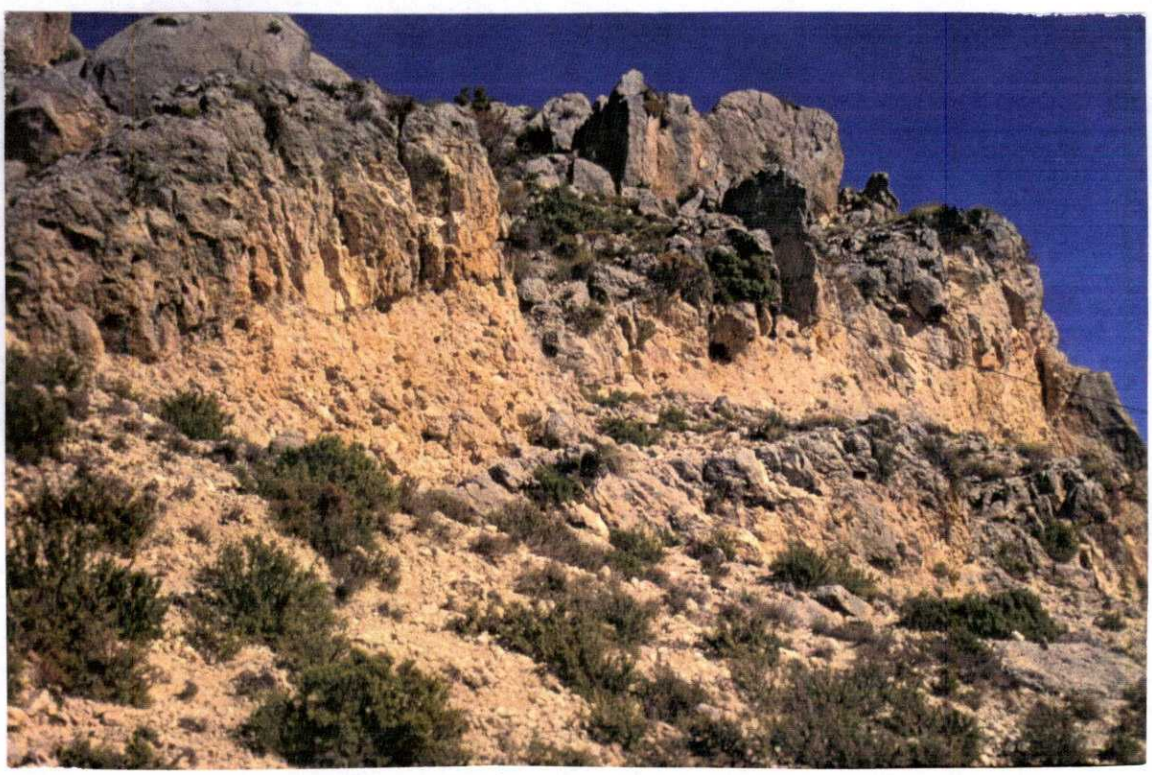
F–9001.– Superficie de erosión dentro de las calizas de la unidad.



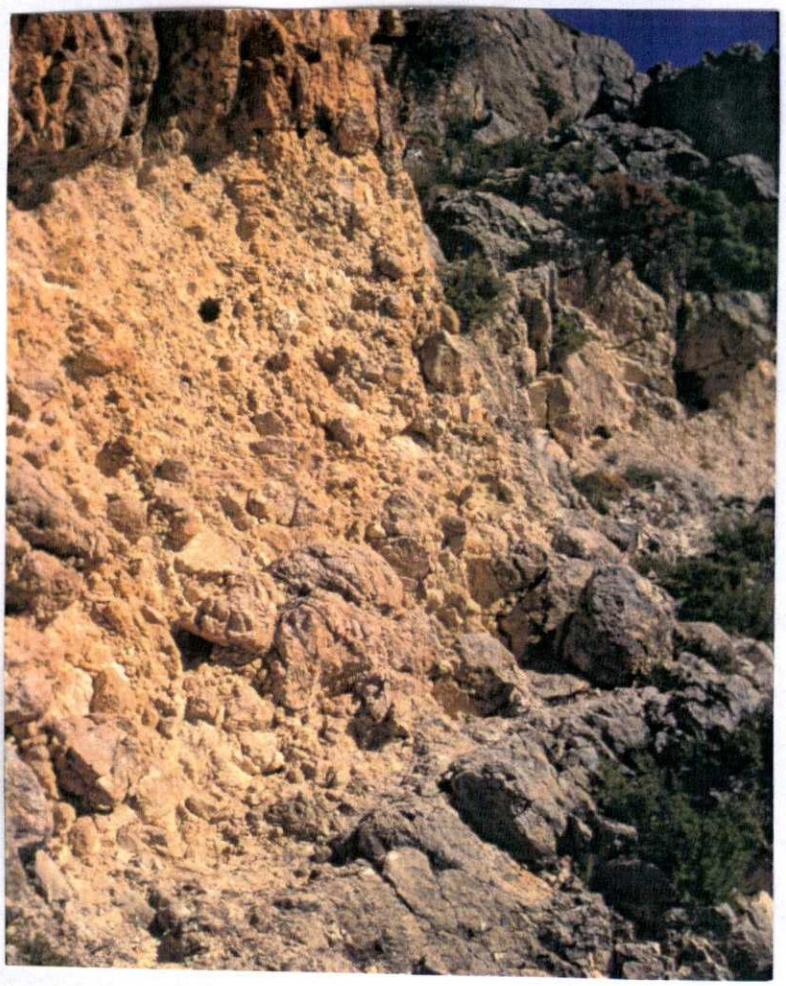
F–9002.– Dolomías del Cenomaniense (17) de Sierra de Castril.



F–9009.– Tectonización en margas cretácicas (10) en las proximidades de una fractura.



F–9013.– Intervalos de brechas calcáreas–calizas (27).



F–9014.– Detalle de la anterior.



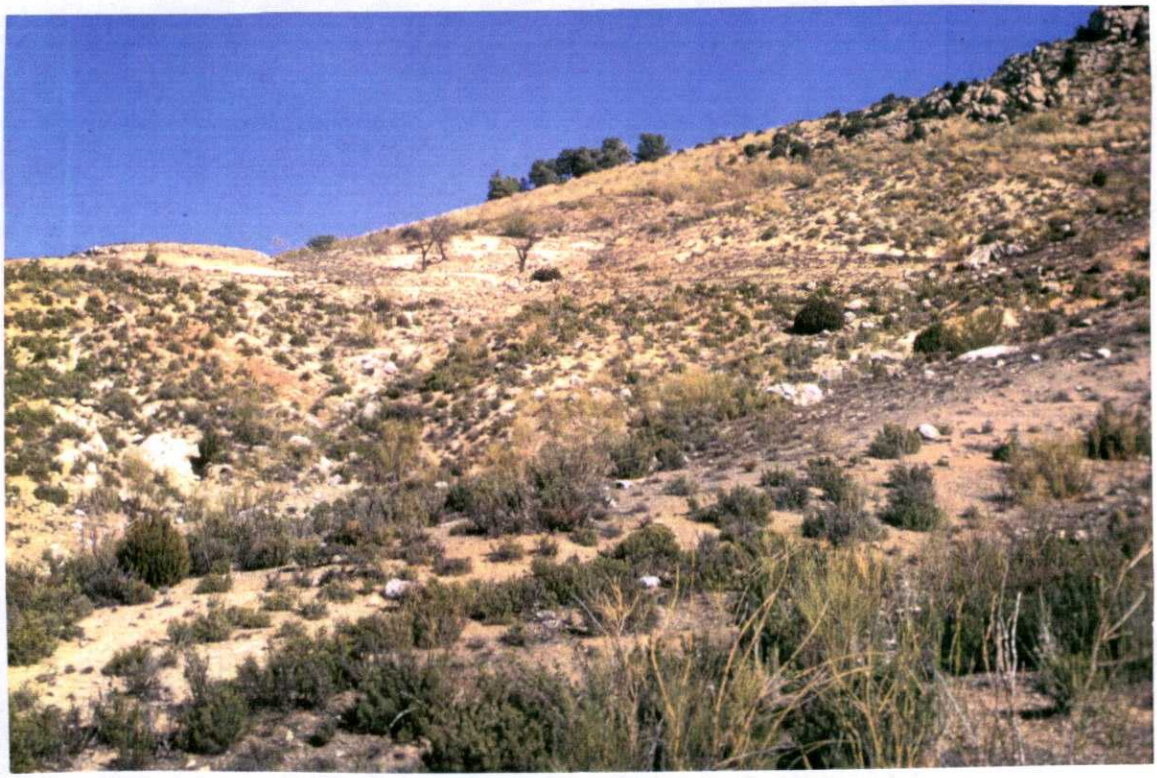
F–9020.– Cabalgamiento de Sierra Seca sobre margas del Mioceno.



F–9023.– Nivel arenoso con laminaciones cruzadas de bajo ángulo y estructuras "*hummocky*" a techo, intercalado en margas miocenas (26).



F–9024.– Secuencia invertida (areniscas albienses sobre margas y calizas cenomanienses), en las proximidades del frente de cabalgamiento de Sierra Seca.



F–9042.– Secuencia subbética (Jurásico superior–Cretácico), al pie de Sierra de Marmolance.



F–9044.– Aspecto de la unidad olistostrómica desde Las Almontaras.



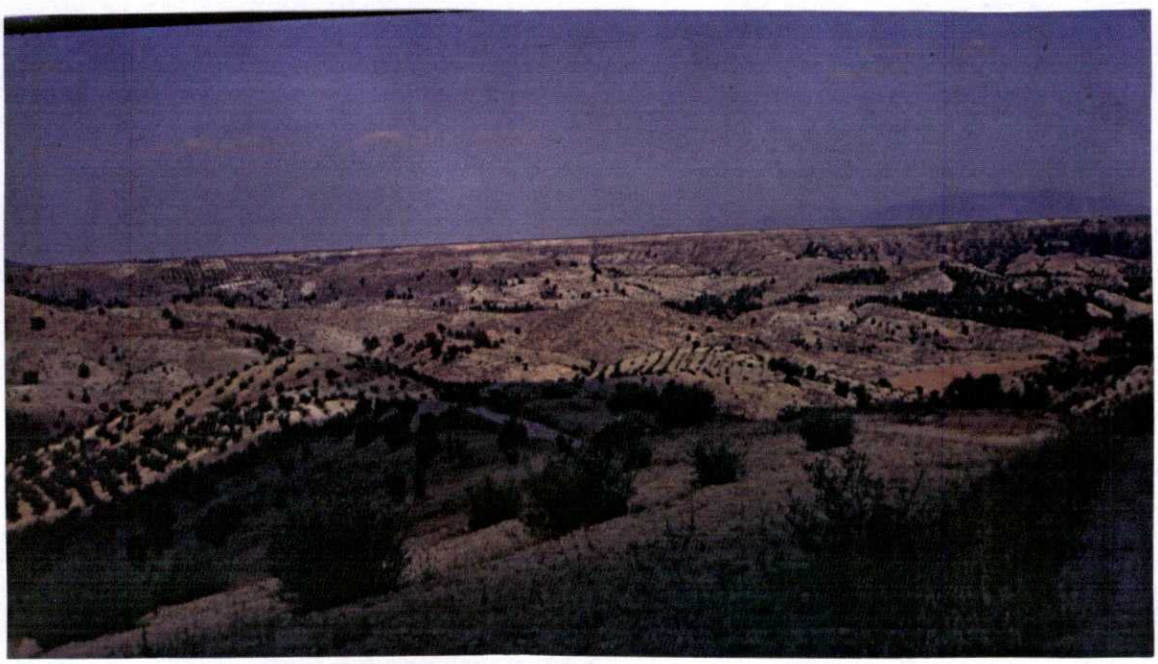
F–9033.– Debrita formada por cantos calcáreos mesozoicos y terciarios y matriz arcillosa de influencia triásica.



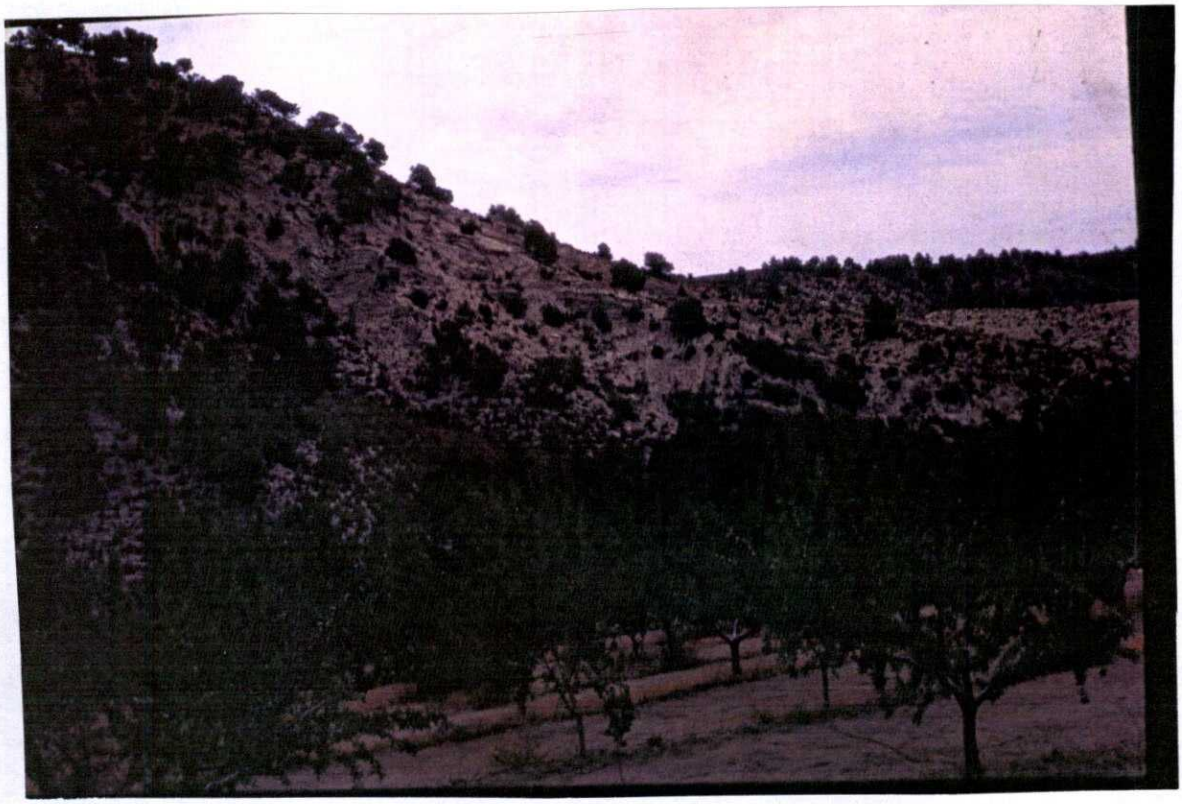
F–9034.– Panorámica de la anterior.



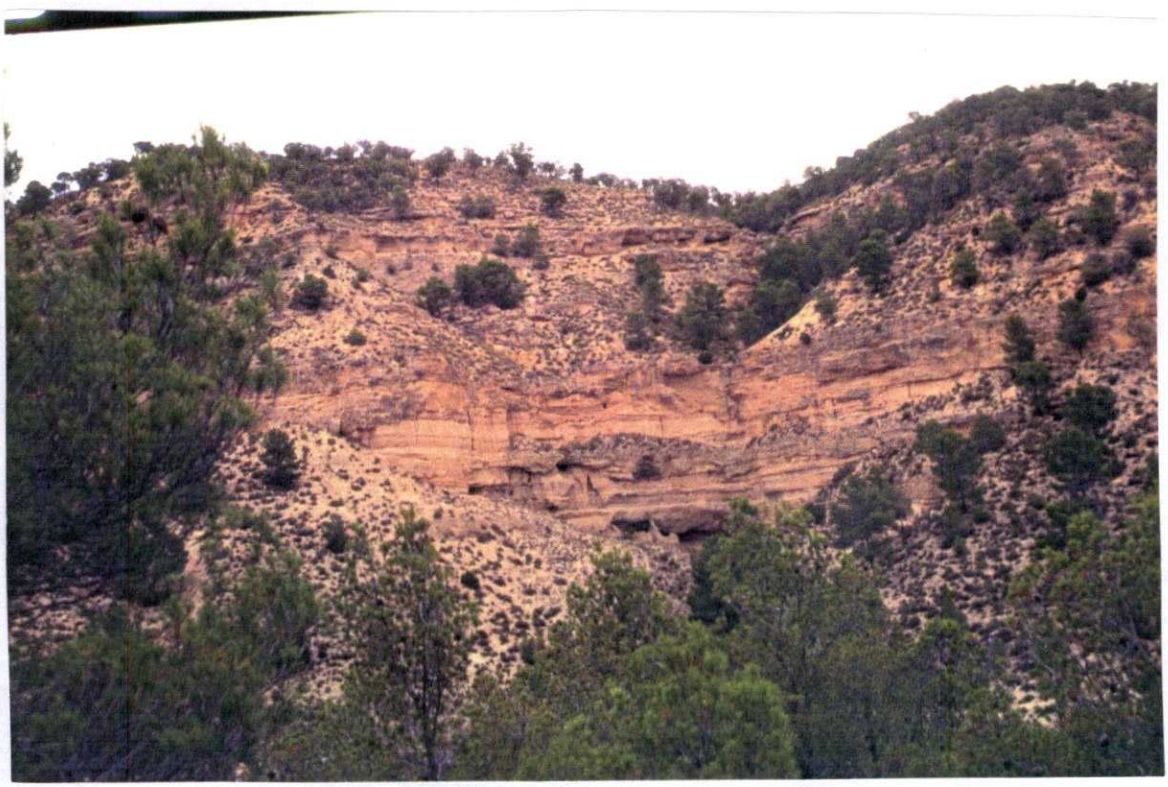
F–9056.– Calcarenita con cantos de cuarzo, rocas verdes (ofitas ?) y grandes foraminíferos bentónicos intercalados en margas miocenas (26).



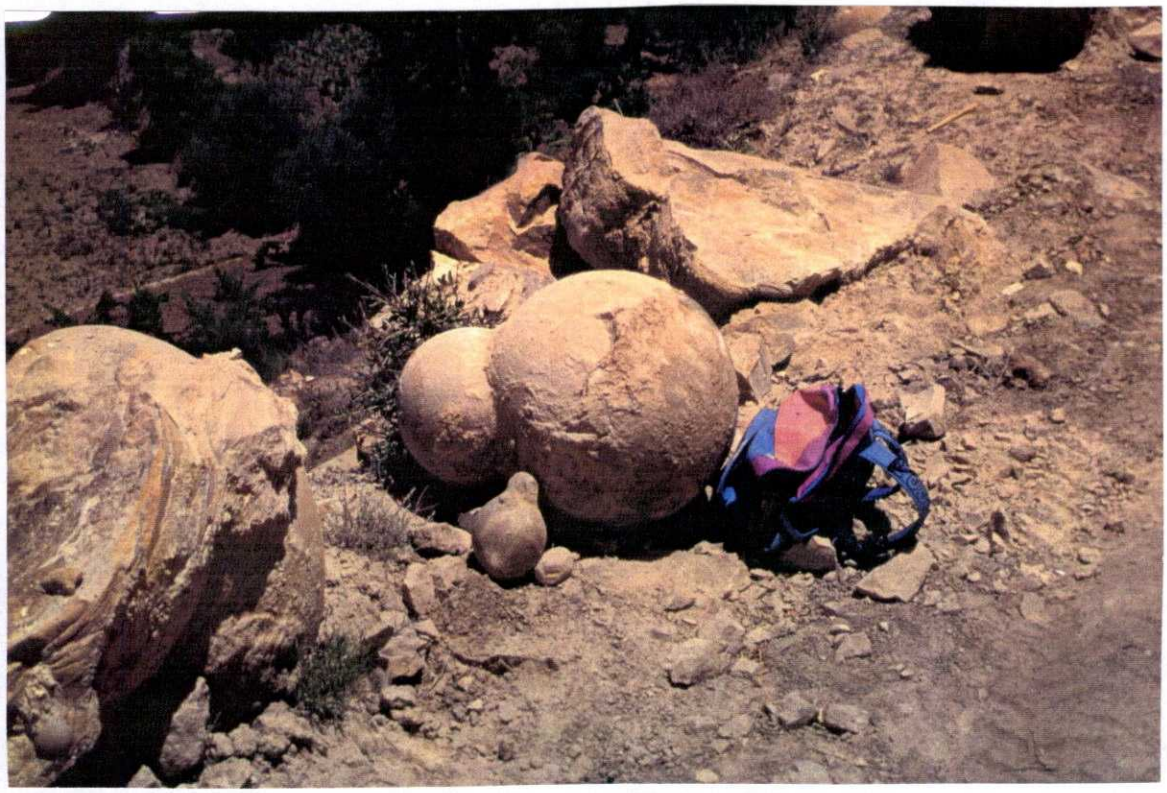
F–9063.– Panorámica de la unidad olistostrómica en el borde occidental de la hoja.



F–9067.– Repliegues de la unidad 19, en el valle del río Guardal.



F–9075.– Panorámica de los conglomerados de borde de la cuenca de Guadix–Baza.



F–9081.– Estructuras esféricas en las areniscas del Aptiense–Albiense (15).



F–9098.– Morfologías de barras en calizas "*grainstone*" de la unidad 5.



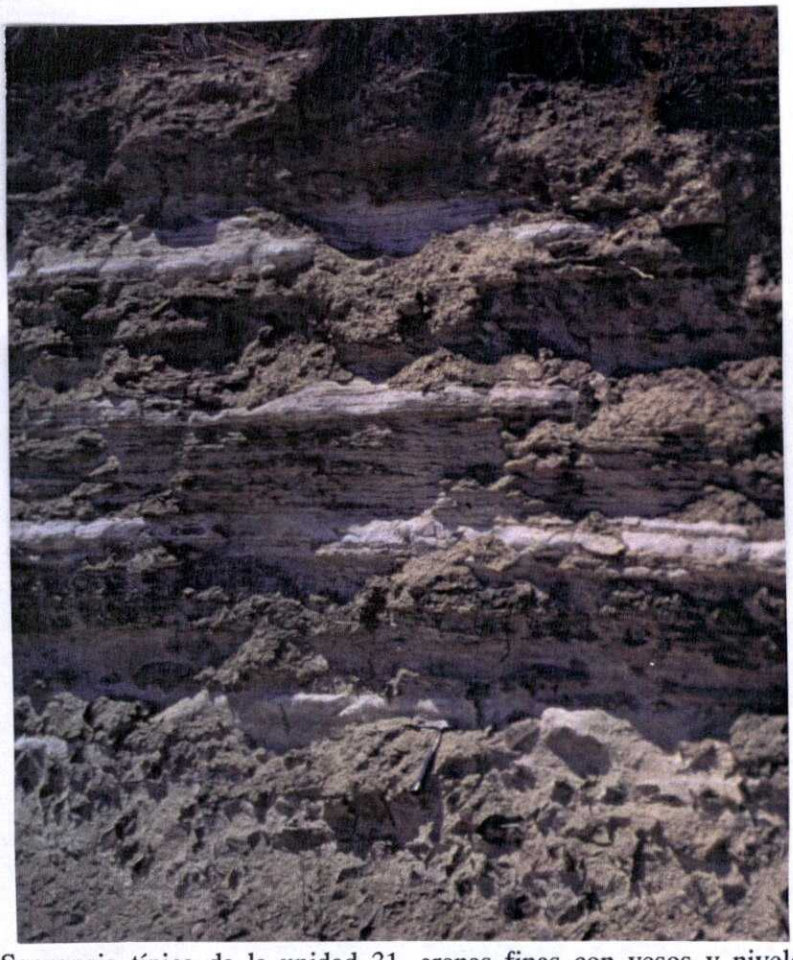
F–9099.– Estratificaciones cruzadas en calizas "*wackestone*" (7).



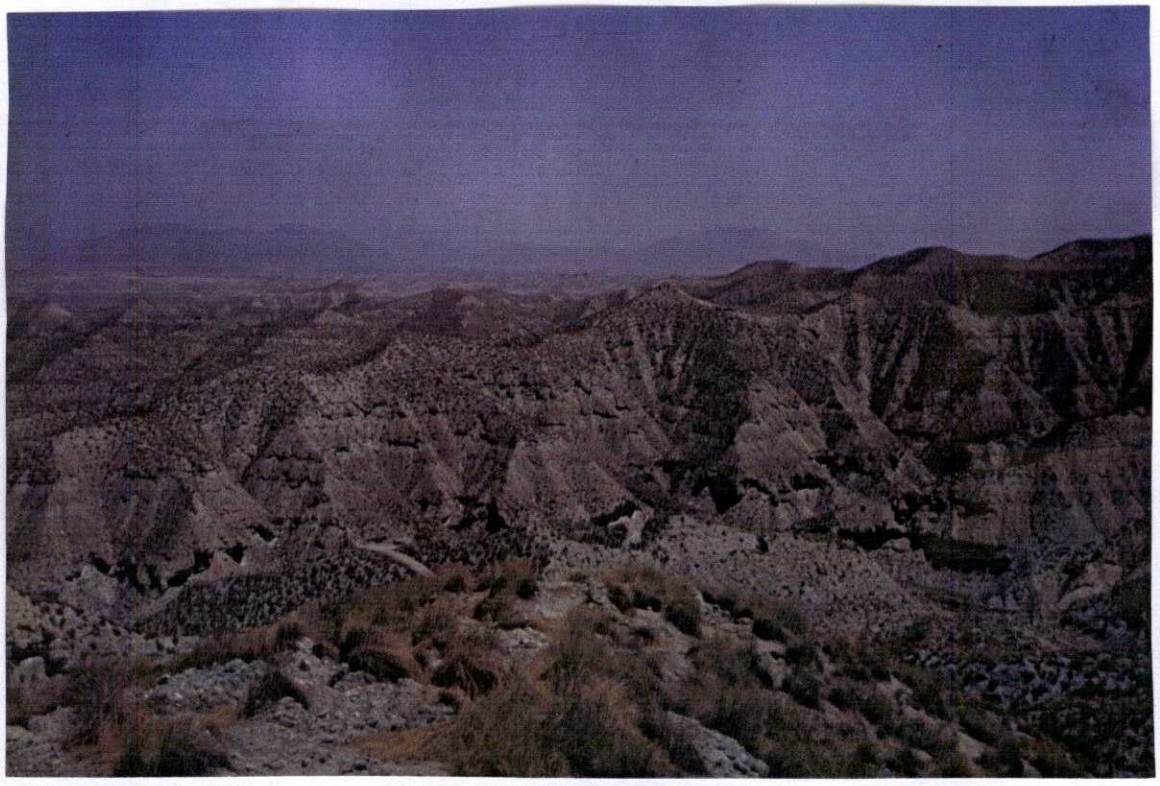
F–9104.– Nódulos de sílex en calizas intercaladas en la unidad 30 (arenas del Plio–Pleistoceno)



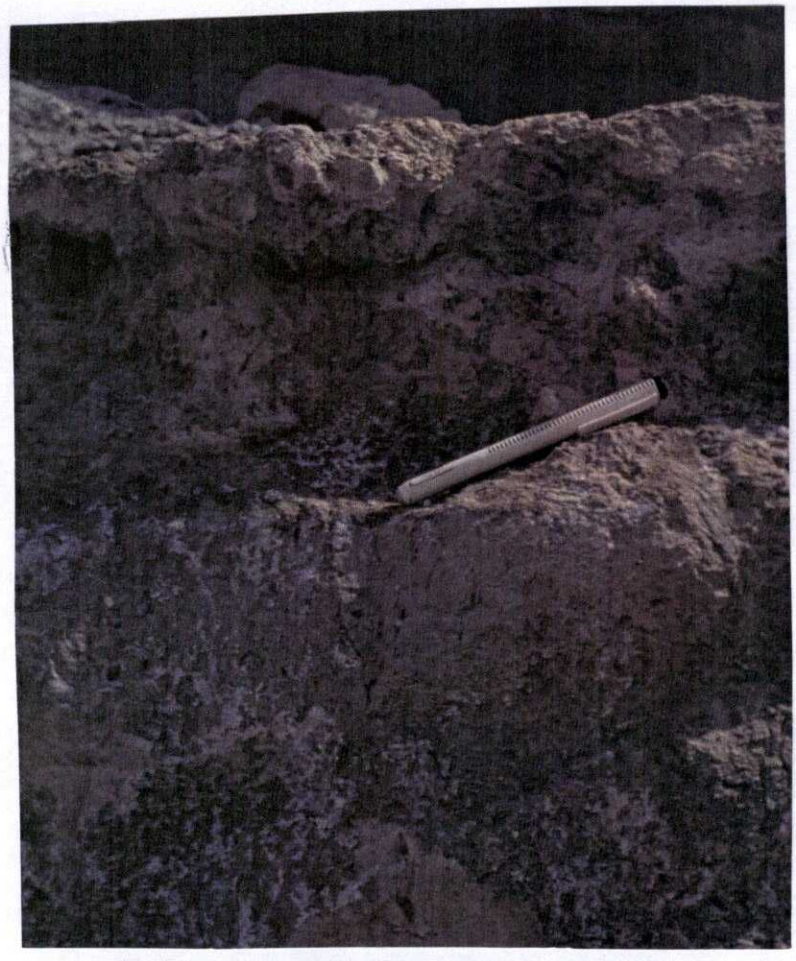
F–9105.– Calizas con moldes de cristales de yeso disueltos (30).



F–9106.– Secuencia típica de la unidad 31, arenas finas con yesos y niveles de margas y calizas.



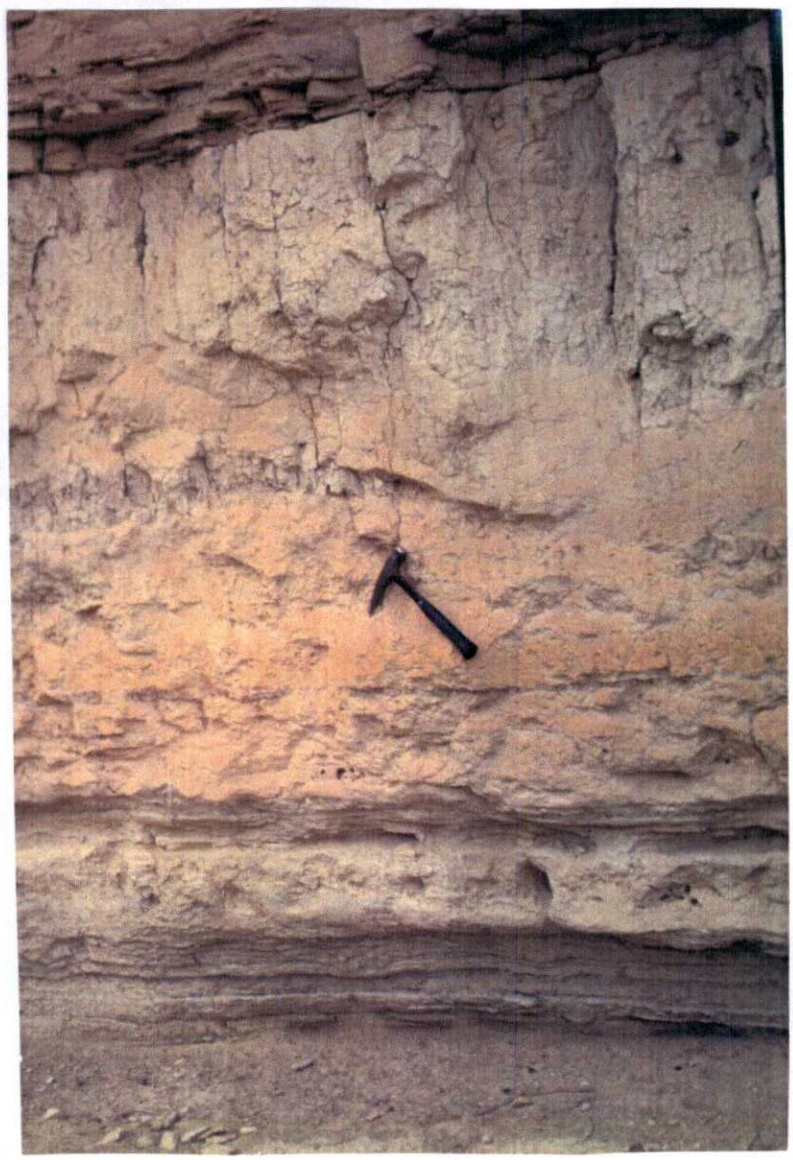
F–9107.– Panorámica del *bad–lands* del SE de Castilléjar.



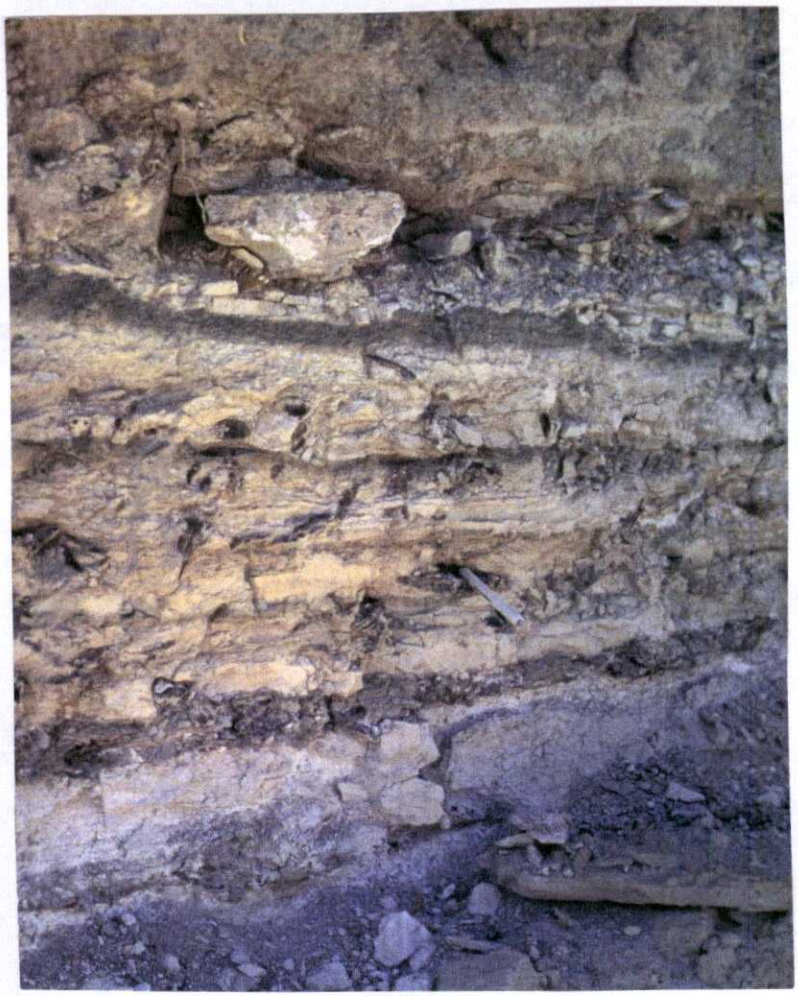
F–9109.– Tramos de marga calcárea con raíces y calizas porosas con yeso intercalado (31).



F–9111.– Deformaciones de niveles arenosos por escape de agua (30).



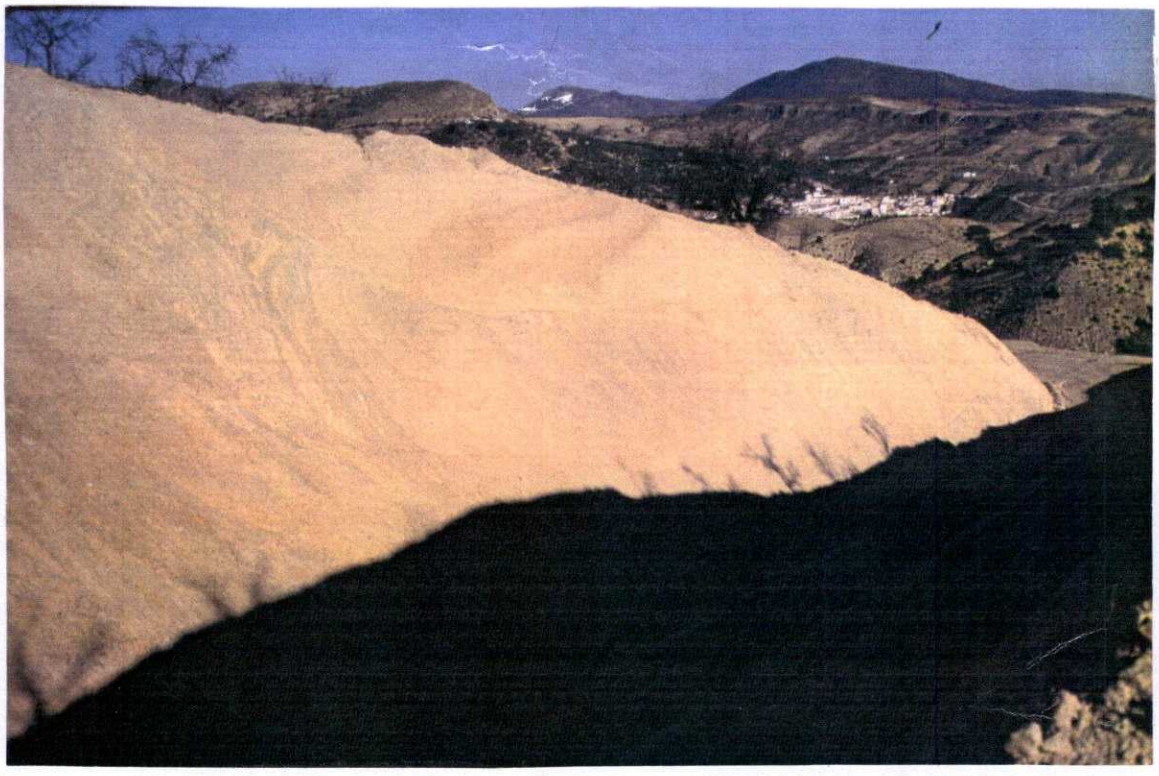
F–9112.– Secuencias de expansión lacustre que comienzan con arenas, limos laminados, calizas oquerosas y culmina con lutitas grises con raíces. (30 en transición a 31).



F–9113.– Secuencia característica de la unidad 31. Arenas finas con yeso y limos laminados o margas.



F–9114.– Nivel de yeso "*alabastrino*" sobre arcillas esmectíticas (31).

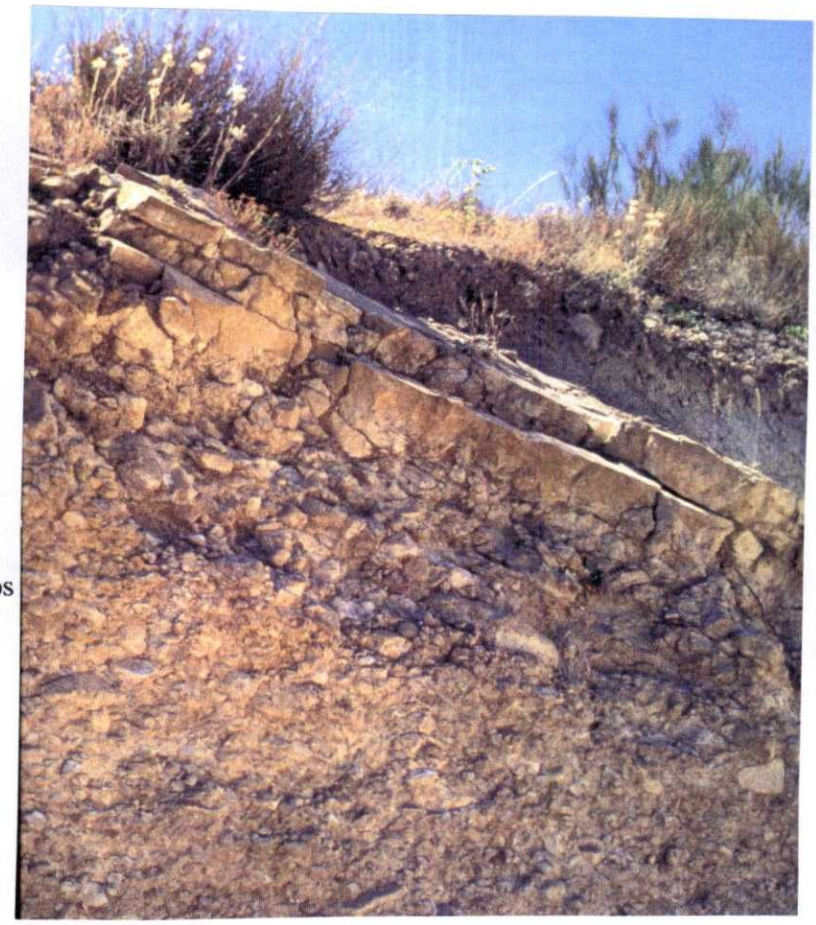


F–9121.– Estructuras gravitacionales en margas cretácicas prebéticas (10), en las proximidades del cabalgamiento sobre margas miocenas.



F–9122.– Nivel turbidítico entre margas miocenas (26)

*NO APARECE EN EL MAPA

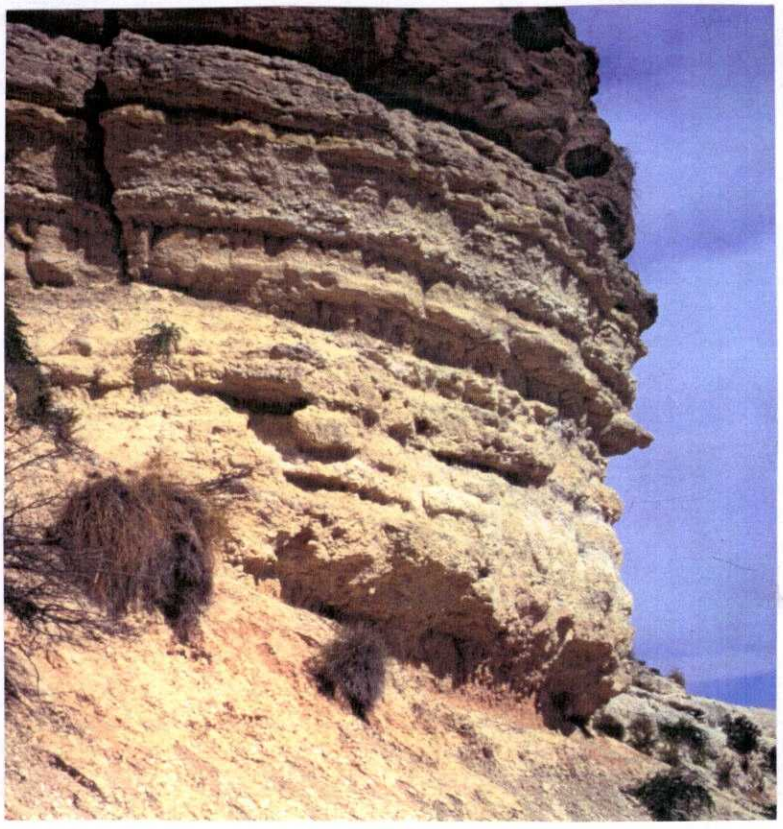


F–9123.– Nivel de conglomerados que pasa a areniscas a techo, entre margas blancas (26).

¿NO APARECE EN EL MAPA



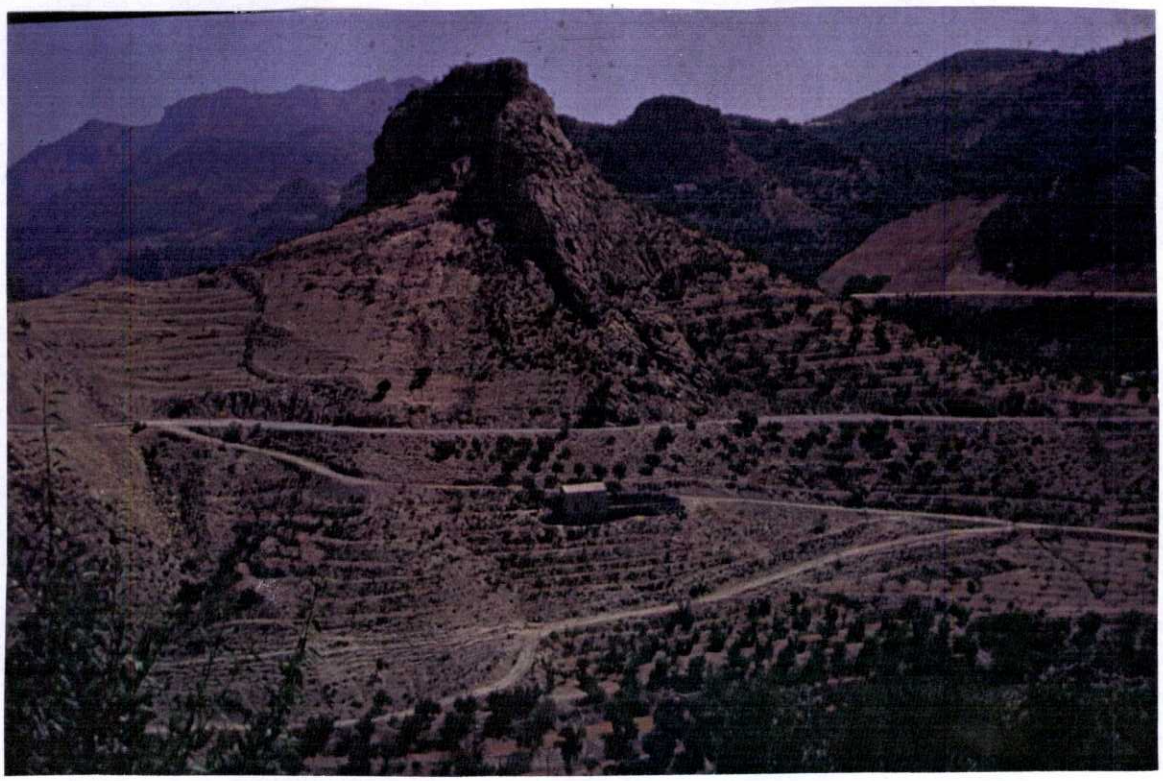
F–9124.– Discordancia angular progresiva de las brechas calcáreas (27), en el afloramiento de Castril de la Peña.



F–9125.– Nivel edáfico que marca el reinicio de los depósitos conglomeráticos (28), sobre arenas y calizas (30) en el borde SO de la hoja (Cuenca de Guadix–Baza).



F–9126.– Buzamiento general de las capas hacia el SE (centro de la Cuenca de Guadix–Baza), de los conglomerados de borde (28). A la derecha se le superponen arenas (30).



F–9052.– Acuñamiento de la barra calcárea del Barremiense–Albiense (12).









